

سنگ‌شناسی، ژئوشیمی و جایگاه زمین‌ساختی سنگ‌های آتشفسانی ترشیری سلم‌آباد

(جنوب شرق سربیشه)، شرق ایران

معصومه گودرزی^{*}، سید سعید محمدی^{*} و محمدحسین زرین‌کوب

گروه زمین‌شناسی، دانشکده علوم، دانشگاه بیرجند، بیرجند، ایران

دریافت: ۱۳۹۲/۵/۲۸، پذیرش: ۱۳۹۲/۸/۲۰

چکیده

منطقه مورد مطالعه در ۵ کیلومتری جنوب شرق سربیشه در استان خراسان جنوبی، در حاشیه خاوری بلوك لوت و در حدفاصل زون زمین‌درز سیستان واقع شده است. در این محدوده، رخنمون قابل توجهی از فعالیتهای آتشفسانی ترشیری با ترکیب کلی حدوداً (آنزیتی) به همراه نهشته‌های آذرآواری متضمن از توف، برش و آگلومرا وجود دارد. سنگ‌های گدازه‌ای شامل آندزیت (پیروکسن آندزیت) و آندزیت بازالتی می‌باشند. منطقه‌بندی، بافت غربالی و خورده‌گی خلیجی در فنوکریسته‌های پلازیوکلاز و وجود حاشیه‌های واکنشی در اطراف پیروکسن‌ها از نشانه‌های شرایط عدم تعادل حین انجماد مagma می‌باشد. این سنگ‌ها دارای ماهیت کالک‌آلکان پتاسیم متوسط تا پتاسیم بالا هستند و غنی‌شدن LILE (به استثنای Ba) و تهی شدن HFSE نشان می‌دهند. میزان کل عناصر نادر خاکی در گدازه‌های منطقه سلم‌آباد ۱۰۲-۹۶ ppm بوده و الگوی یکنواخت با غنی‌شدن LREE نسبت به HREE (La/Yb_N=۱/۰۵-۱/۰۷) در (Ce/Yb_N=۵/۴۳-۶/۸۱) و (Tb/Yb_N=۷/۳۵) منفی ضعیف Eu (میانگین ۰/۷۸=Eu/Eu*) نشان می‌دهند. ویژگیهای ژئوشیمیابی سنگ‌های آتشفسانی سلم‌آباد نظیر غنی‌شدن LREE‌ها نسبت به HREE‌ها به همراه غنی‌شدن در LILE‌ها وجود بی‌هنجری منفی Nb، Ti و P در روند تغییرات عناصر کمیاب بیانگر وابستگی آنها به مناطق فرومیانش است. مقدار [#]Mg در آندزیت‌های سلم‌آباد بین ۴۵/۴ تا ۵۷/۱ و در آندزیت‌های بازالتی ۶۹/۸ است که بیانگر نقش اجزای گوشه‌ای در تشکیل آنهاست. مقدار ^{۸۷}Sr/^{۸۶}Sr اولیه برای آندزیت‌های سلم‌آباد ۰/۷۰-۰/۴۵ و مقدار ε_{Nd(t)} ۳/۱ می‌باشد که منشأ گوشه‌ای آنها را تأیید می‌نماید.

واژه‌های کلیدی: آندزیت، گوشه‌ای غنی‌شده، الیگوسن، کالک‌آلکان، سربیشه

مقدمه

در بلوك لوت در ژوراسیک میانی (۱۶۵-۱۶۲ میلیون سال) شروع شده (Karimpour et al., 2011) و در ترشیری به اوج خود رسیده است (Jung et al., 1983; Karimpour et al., 2011). سنگ‌های آتشفسانی و نیمه عمیق ترشیری بیش از نیمی از بلوك لوت را با ضخامت بیش از ۲۰۰۰ متر پوشانده و در اثر فرومیانش، پیش از برخورد صفحات عربی و آسیا تشکیل شده است (Camp and Griffis, 1982; Tirrul et al., 1983; Berberian et al., 1982). سنگ‌های آتشفسانی آندزیتی همراه داسیت و ریوداسیت‌ها طی فاصله زمانی ۵۰ میلیون سال از کرتاسه تا نوژن زیرین فوران کرده است. به نظر می‌رسد که شدت

منطقه مورد مطالعه در ۵ کیلومتری جنوب شرق سربیشه در استان خراسان جنوبی بین طول جغرافیایی ۴۷° ۵۳' ۵۹° شرقی و عرض جغرافیایی ۳۰° ۳۴' ۳۲° شمالی واقع شده است (شکل ۱). از دیدگاه تقسیم‌بندی واحدهای ساختمانی ایران، این منطقه در حاشیه خاوری بلوك (Jung et al., 1983; Nazari and Salamati, 1999; Karimpour et al., 2011; Arjmandzadeh et al., 2011; Richards et al., 2012; Karimpour et al., 2012) و در حدفاصل زون زمین‌درز سیستان (Camp and Griffis, 1982; Tirrul et al., 1983; Saccani et al., 2010; Pang et al., 2012) واقع شده است. فعالیت ماقمایی

این مجموعه دگرگونی است. رخساره‌های پالئوژن (پالئوسن-ائوسن) در بخش جنوب شرقی محدوده مورد مطالعه در برگیرنده نهشته‌های توربیدیاتی نازک لایه‌ساز و خاکستری‌رنگ است که از تناب شیل‌های سبز تیره تا خاکستری متامیل به سبز (شکل A-۲) آتشفشارزادی (Volcanogenic) و ماسه‌سنگ‌های متوسط لایه با رنگ قهوه‌ای تشکیل شده است (PeE^f).

بر پایه داده‌های صحرایی، در ائوسن پایانی تکاپوی آتشفشاری در منطقه آغاز شده است. پس از فعالیت‌های آتشفشاری ائوسن میانی و پایانی، که بیشتر ترکیبی حدواسط و آندزیتی دارند و در میان نهشته‌های گوناگون جای گرفته‌اند، در زمان ائوسن پایانی-الیگوژن، رخساره‌هایی متناوب از توف، برش، آگلومرا، آندزیت، داسیت و دیگر سنگ‌های وابسته در منطقه سربیشه رخنمون یافته است (Nazari and Salamati, 1999). در بخش‌های مرکزی و شرق منطقه مورد مطالعه، واحد آذراواری (Ttm) متشکل از لیتیک توف، برش (شکل B-۲) و آگلومرا (C) وجود دارد (شکل ۱) که در بخش بالایی به توف‌های اسیدی سفید رنگ (شکل B-۲) تبدیل می‌شود. بخش عمدۀ این واحد، لیتیک توف است که در پاره‌ای افقها، در برگیرنده شیشه‌های آتشفشاری بوده و حالت نواری نشان می‌دهد (شکل D). در جنوب کوه کفتاری، طبقات آذراواری که به شدت خرد شده و تکتونیزه است به صورت متناوب با ماسه‌سنگ دیده می‌شود. در بخش شمالی منطقه، آمیزه‌های تفکیک نشده از سنگ‌های آتشفشاری و آذراواری‌ها به صورت مجموعه‌ای تکتونیزه و خرد شده (Eo^{br}) در مجاورت دیگر واحدهای پالئوژن قرار دارد (شکل ۱). واحد آتشفشاری Eo^{ap} شامل گدازه‌های آندزیتی، از گسترش قابل توجهی در بخش‌های مرکزی و شمال شرقی منطقه مورد مطالعه برخوردار می‌باشد. این سنگها به صورت گنبدهایی با ساخت توده‌ای و گاهی ستونی (شکل E-۲) بر روی واحد آذراواری (Ttm) قرار گرفته (شکل F) و ارتفاعات منطقه نظیر کوههای کفتاری، سرتخت و غزله را می‌سازند (شکل ۱). بخش بالایی این واحد دارای ترکیب آندزیتی-بازالتی و بافت حفره‌ای است. بالاترین واحد آتشفشاری با ترکیب بازالت آندزیتی (b)، به رنگ قهوه‌ای تیره و سیاه به صورت روانه‌هایی گستردۀ، چهره دشت را در غرب سلم‌آباد پوشانده و در برخی مناطق ساخت منشوری دارند. نهشته‌های آواری عهد حاضر (Q^{cog}) به صورت

فعالیت آتشفشاری طی این مدت به میزان قابل توجهی متغیر بوده است (Jung et al., 1983). در بخش‌های شرقی روتای سلم‌آباد در جنوب شرق سربیشه، رخنمون قابل توجهی از فعالیت‌های آتشفشاری ترشیری (ائوسن-الیگوژن تا پلیوسن) با ترکیب کلی حدواسط به همراه نهشته‌های آذرآواری مشاهده می‌شود. تاکنون مطالعاتی توسط محققان مختلف در مورد سنگ‌های آتشفشاری منطقه سربیشه انجام شده است (Nazari, 2011; Mohammadi, 2012; Goodarzi, 2011; Makipour, 2011; Pang et al., 2013) در این پژوهش سعی شده تا با استفاده از شواهد ژئوشیمیایی، خاستگاه و جایگاه زمین‌ساختی مجموعه آتشفشاری جنوب شرق سربیشه مورد بررسی قرار گیرد که می‌تواند در رابطه با شناخت فعالیت‌های ماقمایی بلوك لوت مفید باشد.

روش مطالعه

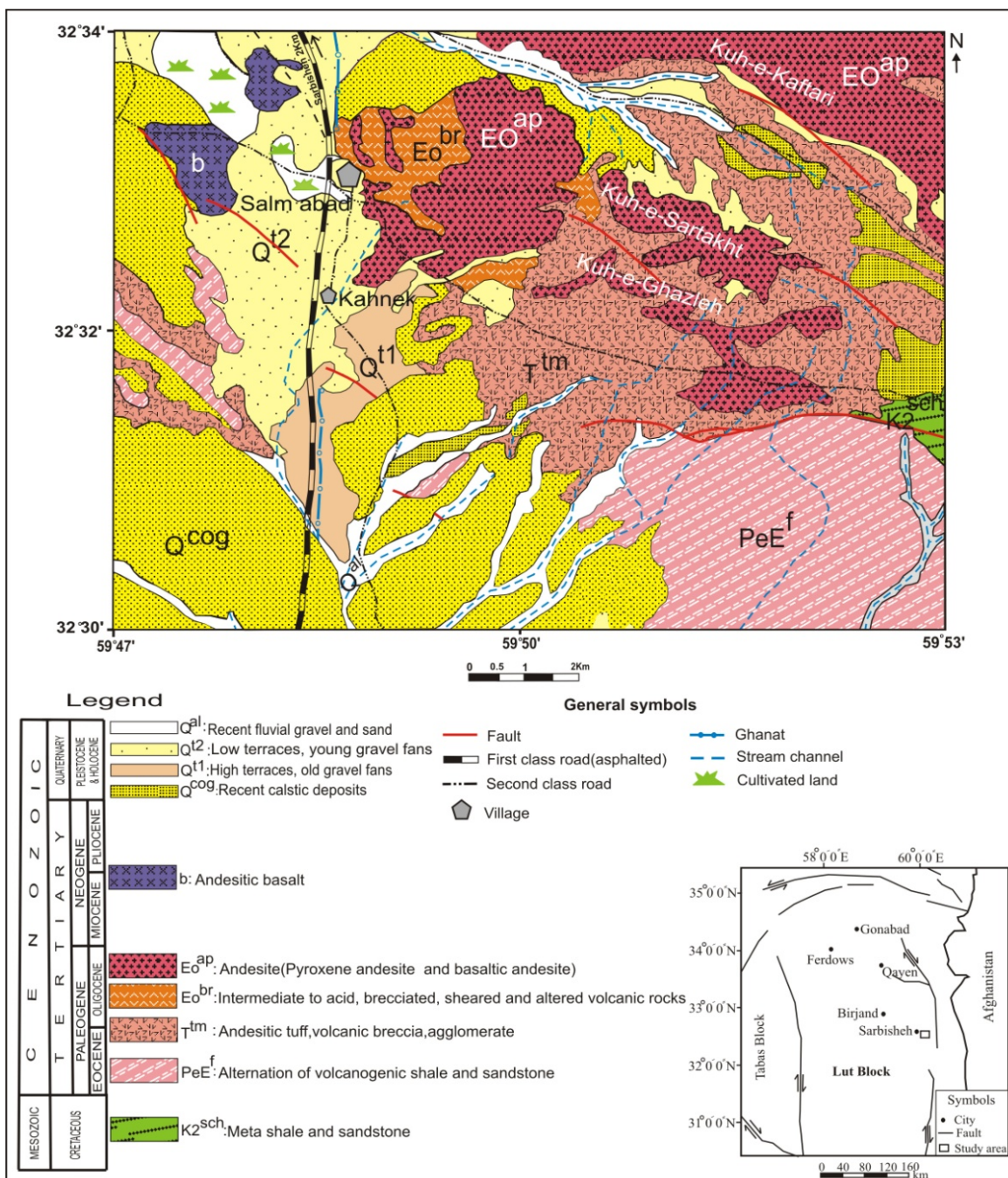
در این پژوهش پس از انجام بررسیهای صحرایی و نمونه‌برداری، تعداد ۸۵ مقطع نازک تهیه گردید و مورد مطالعات پتروگرافی دقیق قرار گرفت. ۱۱ عدد از نمونه‌های دارای دگرسانی کمتر برای آنالیز شیمیایی انتخاب و در شرکت SGS کانادا به روش ICP (برای عناصر اصلی) و ICP-MS (برای عناصر کمیاب و نادر خاکی) مورد آنالیز قرار گرفتند. داده‌های حاصل از آنالیز به منظور بررسیهای ژئوشیمیایی و تعیین جایگاه تکتونیکی واحدهای مورد مطالعه، با استفاده از نرم‌افزارهای مختلف تعبیر و تفسیر شد. همچنین از نتایج آنالیز ایزوتوپی و سن سنجی یک نمونه آندزیت مربوط به مطالعات قبلی (Pang et al., 2013) استفاده گردید.

زمین‌شناسی

منطقه مورد مطالعه در محدوده نقشه زمین‌شناسی ۱/۱۰۰۰۰۰ سربیشه (Nazari and Salamati, 1999) قرار گرفته است. قدیمی‌ترین سنگ‌های موجود در منطقه مورد مطالعه، سنگ‌های رسوبی شیل و ماسه‌سنگ متعلق به کرتاسه (Nazari and Salamati, 1999) است که رخنمون کوچکی از آن در بخش شرقی وجود داشته (شکل ۱) و به علت قرار گرفتن در مجاورت گسل‌ها، دچار دگرگونی در حد رخساره شیست سبز (اسلیت-فلیت) تا رخساره‌هایی با دگرگونی بالاتر شده‌اند (K₂^{sch}). وجود چین خوردگیهای شدید و سطوح شکستگی و درزهای فراوان به همراه رگه‌چهایی از کلسیت و سیلیس از ویژگیهای

واحد b می‌باشد. نهشته‌های آبرفتی قدیمی (Q^{t1}) به طور عمده شامل قله سنگهای گردشده بدون سیمان است. دانه‌های تشکیل‌دهنده بادبزنی‌های شنی جوان (Q^{t2}) به سوی کفه‌های گلی به طور کاوهنده تا اندازه ماسه و سیلت می‌رسد.

طبقه‌هایی سخت نشده و افقی در بخش‌های جنوبی، غرب و شمال منطقه مورد مطالعه دیده می‌شود. بیشتر قطعات پدیدآورنده این کنگلومرا، سنگهای آتشفشاری و در غرب و جنوب محدوده مطالعاتی شامل قطعاتی از بازالت آندزیتی

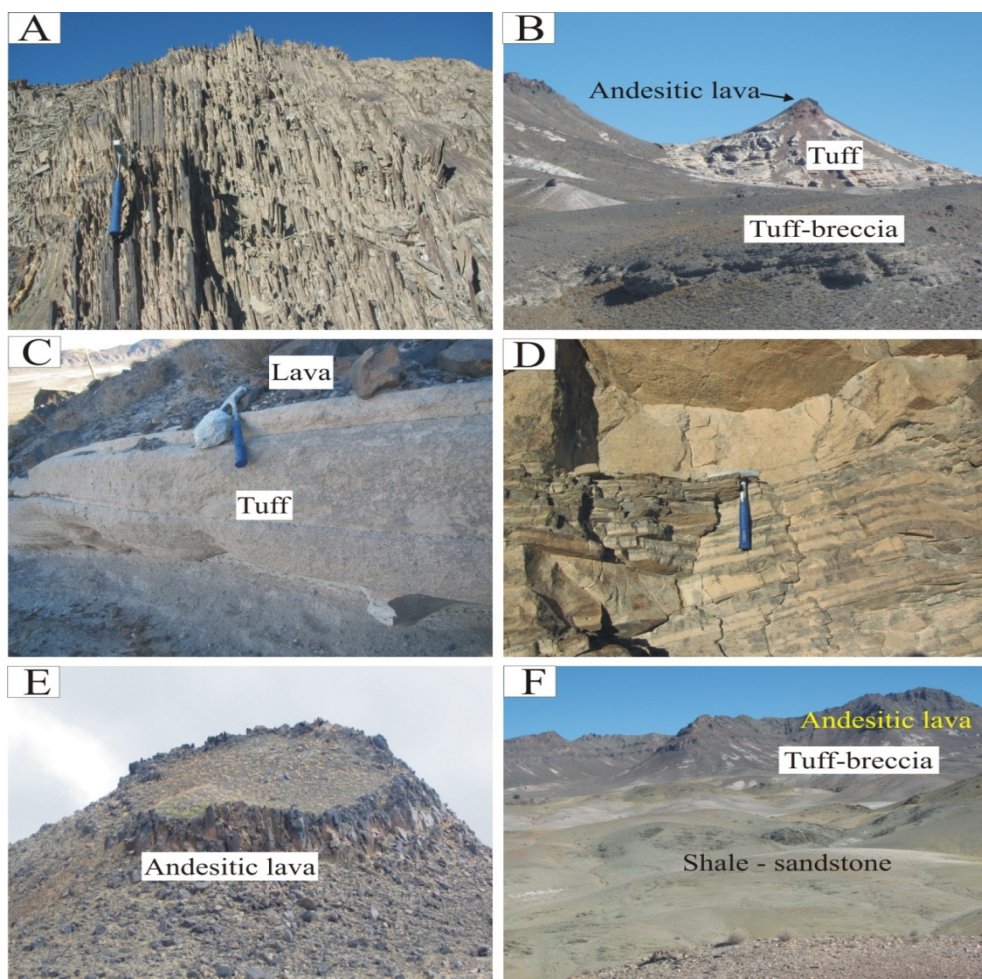


شکل ۱. نقشه زمین‌شناسی منطقه سلم‌آباد بر اساس نقشه ۱/۱۰۰,۰۰۰ سربیشه (Nazari and Salamat, 1999)، با اصلاحات و ترسیم مجدد؛ موقعیت محدوده مطالعه بر روی نقشه ساده بلوك لوت (Karimpour et al., 2011) با علامت مستطیل نشان داده شده است.

Fig. 1. Geological map of Salm abad based on 1:100,000 geological map of Sarbisheh (Nazari and Salamat, 1999), modified and redrawn. Location of the study area showing on a simple map of Lut block (Karimpour et al., 2011) with rectangular symbol.

همت‌آباد با طول حدود ۱۴ کیلومتر، یکی از قطعات گسلی سربیشه است که موقعیت هندسی آن N40W/83SW با سازوکار معکوس با مؤلفه راست‌گرد می‌باشد (Karimi, 2012). عملکرد این گسل سبب خردشیدگی واحدهای سنگی در محدوده مطالعاتی و تشکیل پهنه‌های دگرسانی شده است. علاوه بر این، وجود پرتگاههای گسلی در جنوب روستای سلم‌آباد و بالا‌آمدگی رسوبات کواترنری، نشان از فعالیت پهنه گسلی در کواترنر دارد.

از دیدگاه ساختاری، منطقه مورد مطالعه تحت تأثیر عملکرد پهنه گسلی سربیشه و سرشاخه‌های آن قرار دارد. این پهنه گسلی با طول تقریبی ۶۰ کیلومتر در راستای یکی از سرشاخه‌های گسل نه خاوری قرار دارد که با تداوم به سمت جنوب به بخش اصلی گسل نهیندان متصل می‌شود (Karimi, 2012). پهنه گسلی سربیشه به سه قطعه با طولهای مختلف تقسیم می‌شود که مبنای این تقسیم‌بندی، ناپیوستگی هندسی در راستای پهنه گسلی بوده است. گسل



شکل ۲: A: نمایی از شیل و ماسه سنگهای دگرگون شده در جنوب شرق سربیشه، دید به سوی شمال غرب، B و C: حضور گدازه‌های آندزیتی بر روی توفها در جنوب شرق سربیشه، دید به سوی شمال شرق، D: لیتیک توف در برگیرنده شیشه آتشفشاری و دارای حالت نواری در جنوب شرق سربیشه، E: رخمنون واحدهای گدازه‌ای آندزیتی در بخش‌های مرکزی و شمال شرق سلم‌آباد به صورت گنبدهایی با ساخت توده‌ای و گاهی ستونی، دید به سوی شمال شرق، F: نمایی از قرارگیری گدازه و آذرآواری‌ها بر روی شیل و ماسه‌سنگ در شرق روستای کهنک، دید به سوی شمال شرق.

Fig. 2. A: View of metamorphosed shale and sandstone in southeast of Sarbisheh, look toward northwest, B and C: Presence of andesitic lavas on top of tuffs in southeast of Sarbisheh, look toward northeast. D: Lithic tuff with volcanic glass and band shape in southeast of Sarbisheh,. E: Outcrops of andesitic units in central and northeastern parts of Salm abad as domes with massive and columnar structure, look toward northeast, F: View of lava and pyroclastics on top of shale and sandstone in east of Kahnek village, view toward northeast.

بر مآگما ایجاد شده‌اند. فنوکریست‌های نیمه شکل‌دار تا شکل‌دار پیروکسین از نوع اوژیت (شکل A-۳ و B)، گاهی دارای منطقه‌بندی یا ماکل ساعت‌شنبی به میزان ۱۵ تا ۲۰ درصد یافت می‌شود که نشانه رشد نامتعادل در دو منطقه بلور و در حین رشد همزمان آنهاست (Vernon, 2004). وجود حاشیه‌های واکنشی در اطراف پیروکسین‌ها در زمرة بافت‌های غیر تعادلی موجود هستند. برخی نمونه‌ها با افزایش میزان پیروکسین به پیروکسین آندزیت تغییر یافته (شکل ۳-D) و تجمعات پلازیوکلاز و پیروکسین در این نمونه‌ها سبب پیدایش بافت گلومروبورفیری (شکل E) شده است. هونبلنند به صورت بلورهای شکل‌دار تا نیمه شکل‌دار (شکل ۳-A) به مقدار کم (حدود ۵ درصد) در آندزیت‌های منطقه مورد بررسی وجود دارد. این کانی در اثر دگرسانی به کلریت، کلسیت و کانیهای کدر تبدیل شده است.

آنذزیت بازالتی

این سنگها نسبت به آندزیت‌ها از پراکندگی کمتری در منطقه برخوردار بوده و در قسمتهای شمالی، مرکزی و غرب منطقه رخنمون دارند. بافت غالب آنها پورفیری با زمینه میکرولیتی (شکل F-۳)، شیشه‌ای، گلومروبورفیری و گاهی حفره‌ای است و تیره‌تر از آندزیت‌ها هستند. پلازیوکلاز به میزان ۶۰ تا ۷۰ درصد به صورت درشت‌بلور و نیز میکرولیت در زمینه دیده می‌شوند. اندازه این بلورها از ۱/۵ تا حدود ۲ میلی‌متر می‌رسد. فنوکریست‌های پلازیوکلاز در برخی از نمونه‌ها بافت غربالی نشان داده و میکرولیت‌ها بافت جریانی دارند. همچنین، پلازیوکلازها در بعضی نمونه‌ها دگرسان شده و از مرکز به کربنات تبدیل شده‌اند. درشت‌بلورهای نیمه شکل‌دار و شکل‌دار کلینوپیروکسین (اوژیت)، با اندازه ۰/۵ تا ۱/۵ میلی‌متر از سازندگان اصلی این سنگها بوده (شکل F-۳) و در حدود ۲۰ تا ۲۵ درصد حجم این سنگها را به خود اختصاص داده‌اند. در اطراف برخی کلینو پیروکسین‌ها حاشیه‌های دگرسان شده از اکسیدهای آهن قرمز رنگ و کلریت وجود دارد. الیوین اغلب به صورت ریزبلور و به ندرت درشت‌بلور (شکل F-۳) حدود ۵ درصد این سنگها را تشکیل می‌دهد. این کانی اغلب از حاشیه و در برخی موارد به طور کامل ایدنگزیتی و به ندرت به کلریت تبدیل شده است. کانیهای رسی، کلریت، کلسیت و کانیهای

پتروگرافی

سنگهای آتشفشاری جنوب شرق سریشه شامل سنگهای آذرآواری و گدازهای می‌شوند. واحدهای گدازهای دارای ترکیب کلی آندزیتی بوده و شامل آندزیت (پیروکسین آندزیت) و آندزیت بازالتی هستند.

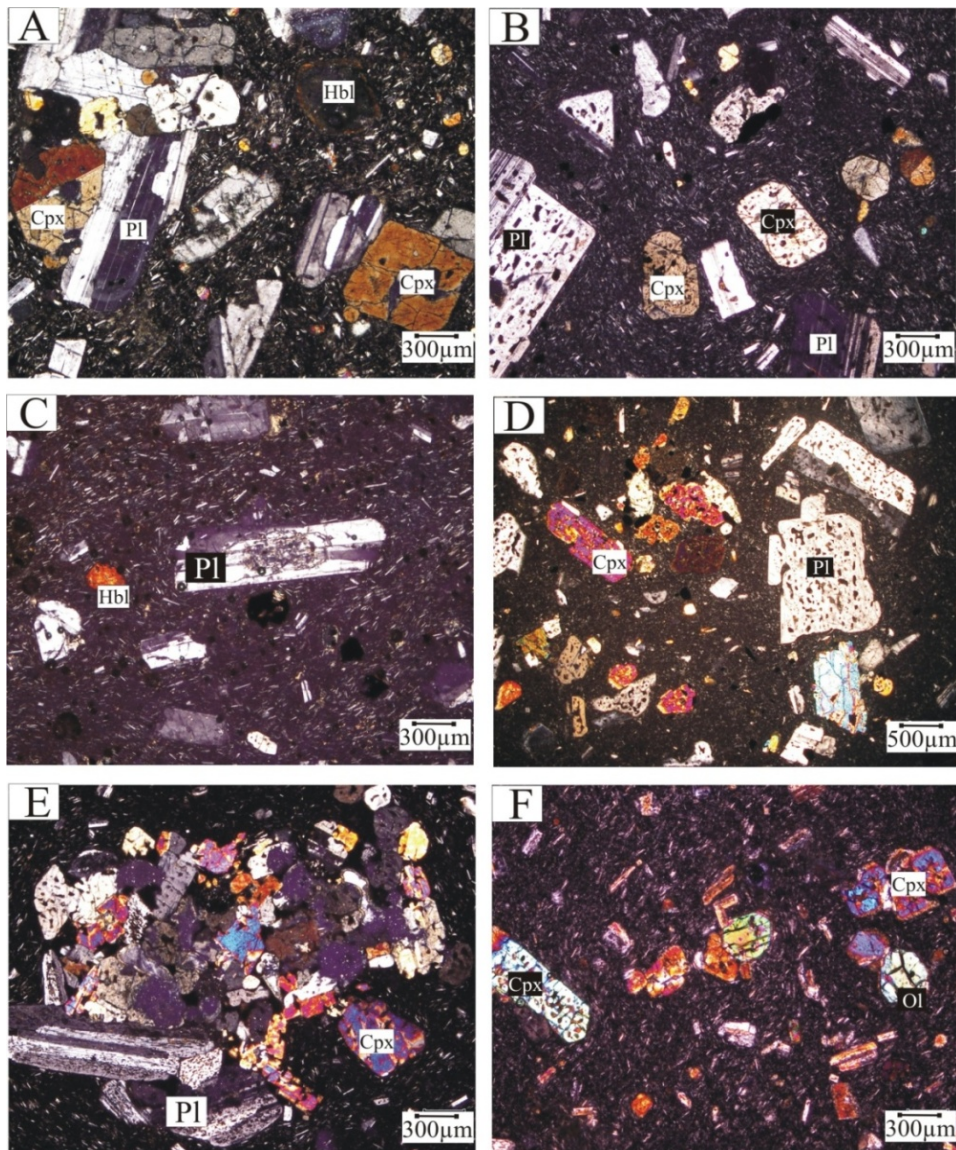
آنذزیت (پیروکسین آندزیت)

نمونه‌های آندزیتی به رنگ خاکستری تیره و در قسمتهای شمالی منطقه، به رنگ قرمز دیده می‌شوند. این سنگها دانه‌ریز و پورفیری بوده و در نمونه دستی آنها بلورهای روشن پلازیوکلاز قابل تشخیص است. بافت غالب آندزیتها، پورفیری- میکرولیتی (شکل ۳-A و B)، میکرولیتی شیشه‌ای (شکل C-۳) و گاهی گلومروبورفیری می‌باشد. فنوکریست‌های نیمه شکل‌دار تا شکل‌دار پلازیوکلاز با اندازه ۰/۵ تا ۲ میلی‌متر با ترکیب آندزین-الیگوکلاز و خمیره میکرولیتی، حدود ۷۰-۷۵ درصد این سنگها را تشکیل داده است. برخی فنوکریست‌های پلازیوکلاز، در بخش‌های مرکزی به کربنات تبدیل شده‌اند (شکل C-۳). بافت‌های غیر تعادلی شامل منطقه‌بندی، بافت غربالی (شکل B-۳) و خوردگی خلیجی در فنوکریست‌های پلازیوکلاز وجود دارد. بر اساس نظر (Housh and Luhr, 1991) ترکیب پلازیوکلازها علاوه بر ترکیب و دمای مآگما به گازهای ماقمایی نیز بستگی دارد. در هنگام فوران، مقدار زیادی از گازها از دست رفته و پلازیوکلازها واحد منطقه‌بندی می‌شوند. همچنین، گاهی اوقات کاهش ناگهانی فشار به دلیل فوران ماقمایی سبب آزادشدن سیالات ماقمایی و از بین رفتن تعادل میان مذاب- بلور و پلازیوکلازها واحد منطقه‌بندی می‌شود (L'Heureux and Katsev, 2006). محتوی آب مذاب و دما از عوامل مهم تأثیرگذار در ترکیب و پایداری پلازیوکلاز است. از دستدادن سریع مواد فرار در حین فوران یا نشت آب از ماقمایی‌های آبدار یکی از عوامل تجزیه پلازیوکلازها و ایجاد بافت غربالی می‌باشد (Monfaredi et al, 2009).

به اعتقاد (Nelson and Montana, 1992; Zellmer et al, 2003) منطقه‌بندی، بافت غربالی و خوردگی خلیجی در پلازیوکلازها از نشانه‌های وجود شرایط عدم تعادل حین انجام ماقمایی بوده و احتمالاً در اثر صعود سریع ماقمایی، افزایش فشار بخار آب، فرآیندهای آلایش و هضم و کاهش فشار حاکم

کدر، مهمترین کانیهای حاصل از دگرسانی در این سنگها هستند.

نتایج آنالیز ژئوشیمیایی عناصر اصلی و کمیاب نمونه‌های مورد مطالعه در جدول ۱ آورده شده است.



شکل ۳. ویژگیهای پتروگرافی آندزیت‌های منطقه سلم‌آباد. A: بافت پورفیری با زمینه میکرولیتی B: بافت‌های غیر تعادلی نظیر بافت غربالی در پلازیوکلازها و حضور کلینوپیروکسن‌های شکل‌دار تا نیمه شکل‌دار C: بافت پورفیری با زمینه میکرولیتی شیشه‌ای، هورنبلندهای نیمه شکل‌دار و دگرسانی بخش مرکزی پلازیوکلاز به کربنات D: بافت غربالی در پلازیوکلاز و فراوانی پیروکسن در پیروکسن آندزیت‌ها E: تجمعات پلازیوکلاز و پیروکسن و تشکیل بافت گلومروروپورفیری در پیروکسن آندزیت‌ها F: الیون ریزبلور بهمراه کلینوپیروکسن در آندزیت‌های بازالتی (نور در تمام شکلها XPL است). علایم اختصاری کانیها از (Whitney and Evans, 2010).

Fig. 3. Petrographic characteristics of Salm abad andesites, A: Porphyric texture with microlitic groundmass, B: Disequilibrium textures such as sieve in plagioclases and presence of euhedral to subhedral clinopyroxenes, C: Porphyric texture with vitric microlitic groundmass, subhedral hornblendes and alteration of plagioclase to carbonate in central part, D: Sieve texture in plagioclase and abundant pyroxene in pyroxene andesites, E: Plagioclase and pyroxene assemblages and formation of glomeroporphyric texture in pyroxene andesites, F: Microcrystals of olivine with clinopyroxene in basaltic andesites (all pictures in crossed polarized light). Mineral abbreviations from (Whitney and Evans, 2010).

جدول ۱. نتایج آنالیز شیمیابی عناصر اصلی (درصد وزنی) و کمیاب (ppm) سنگهای آتشفشاری منطقه سلم‌آباد (جنوب شرق سربیشه)

Table 1. Whole rock major (wt.%) and trace element (ppm) composition of the Salm abad volcanic rocks (southeast of Sarbisheh)

Sample No.	M4-3	M1-8	M5-22	M4-18	M1-9	M5-15
Rock type	Andesite	Andesite	Andesite	Andesite	Andesite	Andesite
Sample location	X	59°51'31"	59°51'55"	59°52'49"	59°50'49"	59°52'59"
	Y	32°32'19"	32°33'57"	32°33'38"	32°32'47"	32°33'17"
SiO ₂	60.9	61.7	61.6	61.8	61.8	61.4
TiO ₂	0.91	0.86	0.72	0.94	0.9	0.95
Al ₂ O ₃	16.4	15.7	16.5	16.4	16.8	17.2
FeO _t	5.08	5	4.7	5.16	4.89	5.11
MnO	0.08	0.07	0.07	0.07	0.07	0.04
MgO	2.46	2.67	3.16	2.4	1.9	2.58
CaO	4.89	5.1	5.57	4.7	4.53	4.7
Na ₂ O	3.7	2.6	3.6	3.01	3.1	4.1
K ₂ O	2.69	3.43	1.4	2.74	3.08	1.06
P ₂ O ₅	0.21	0.19	0.21	0.21	0.21	0.21
LOI	1.9	2.78	2.47	2.3	2.39	2.51
Total	99.22	100.1	100.02	99.72	99.61	99.4
Mg [#]	50	54	57	50	45	50
A.R.	1.86	1.82	1.59	1.75	1.82	1.62
V	104	81	90	97	86	88
Co	15.7	14.1	16.5	14.6	11.5	10.2
Ni	35	24	69	22	13	29
Zn	61	68	57	68	61	72
Rb	117	122	80.6	115	136	92.6
Sr	360	350	400	350	410	370
Y	25.3	20.3	19.3	25.4	27.1	24.1
Zr	256	190	183	266	304	263
Nb	14	11	10	15	15	15
Cs	7.7	6.7	3.9	7.9	9.0	6.0
Ba	390	480	340	400	620	370
Ta	0.5	0.5	0.5	0.6	0.5	0.5
Th	13.5	11.6	9.6	13.5	15.2	13.7
U	2.88	2.34	1.97	2.81	3.03	2.71
Ga	19	17	18	20	21	20
Hf	6	5	5	6	8	7
La	32.4	26.5	25	32	33.1	31.7
Ce	59.6	50.9	47.0	60.5	64.4	57.9
Pr	6.74	5.57	5.12	6.86	7.20	6.56
Nd	24.9	20.2	18.8	25.4	26.5	24.8
Sm	4.8	3.9	3.5	4.7	5.2	4.8
Eu	1.05	0.88	1.04	1.16	1.15	1.17
Gd	4.69	3.70	3.45	4.64	4.69	4.76
Tb	0.73	0.55	0.52	0.76	0.78	0.69
Dy	4.40	3.75	3.32	4.66	4.87	4.22
Ho	0.88	0.70	0.67	0.91	0.95	0.86
Er	2.59	2.19	2.03	2.72	2.80	2.27
Tm	0.34	0.29	0.26	0.35	0.39	0.34
Yb	2.5	2.0	1.8	2.4	2.6	2.2
Lu	0.40	0.29	0.27	0.39	0.40	0.35
(La/Yb) _N	8.74	8.93	9.37	8.99	8.58	9.71
(Ce/Yb) _N	6.17	6.58	6.75	6.52	6.41	6.81
(Tb/Yb) _N	1.29	1.21	1.27	1.40	1.32	1.38
Eu/Eu*	0.68	0.71	0.92	0.76	0.71	0.75

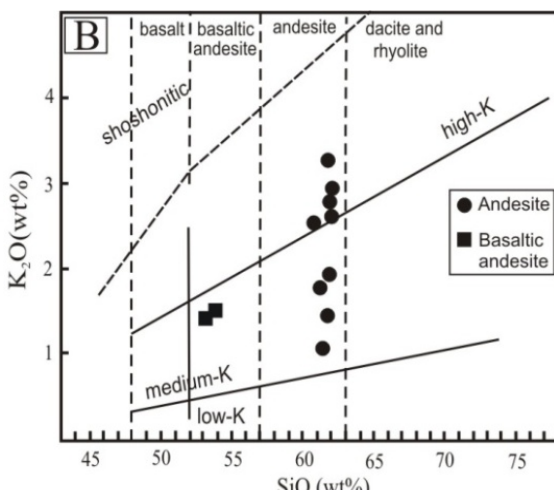
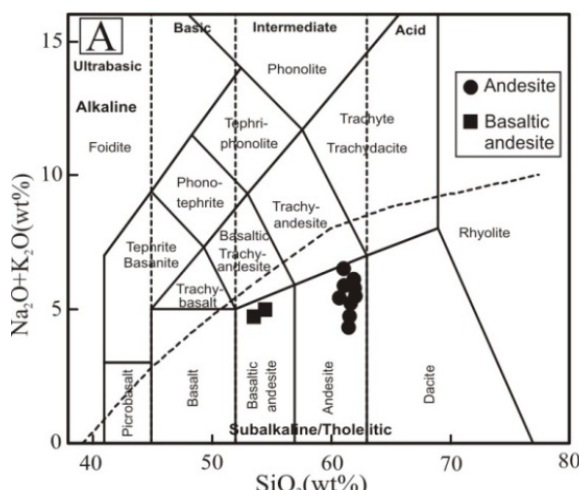
ادامه جدول ۱: نتایج آنالیز شیمیایی عناصر اصلی (درصد وزنی) و کمیاب (ppm) سنگهای آتشفشاری منطقه سلم‌آباد (جنوب شرق سربیشه)

Table 1 (continued). Whole rock major (wt.%) and trace element (ppm) composition of the Salm abad volcanic rocks (southeast of Sarbisheh)

Sample No.	M6-7	M4-10	M5-3	M2-11	M3-11	
Rock type	Px-andesite	Px-andesite	Px-andesite	Basaltic andesite	Basaltic andesite	
Sample location	X Y	59°51'23" 32°31'38"	59°49'38" 32°32'47"	59°51'1" 32°32'3"	59°47'44" 32°33'3"	59°48'10" 32°33'49"
SiO ₂	60.97	61.8	61.7	54	53.4	
TiO ₂	0.75	0.72	0.88	0.74	0.74	
Al ₂ O ₃	16.9	15.9	16.4	16.6	16.6	
FeO _t	4.8	4.89	4.97	6.52	6.52	
MnO	0.08	0.08	0.08	0.09	0.09	
MgO	3.26	3.33	2.79	7.40	7.4	
CaO	5.61	5.34	5.19	7.9	8	
Na ₂ O	3.9	3.7	3.4	3.5	3.4	
K ₂ O	1.84	1.89	2.77	1.5	1.4	
P ₂ O ₅	0.21	0.21	0.21	0.19	0.19	
LOI	1.41	1.63	1.71	2.25	2.26	
Total	99.67	99.49	100.02	100.47	99.77	
Mg [#]	57	57	54	70	70	
A.R.	1.68	1.71	1.80	1.51	1.48	
V	104	89	101	86	119	
Co	18.6	17.1	16.3	13.5	18.1	
Ni	72	69	29	28	23	
Zn	56	62	66	62	66	
Rb	83.6	78.9	125	70.5	99.7	
Sr	350	370	360	570	580	
Y	20.1	18.2	24.6	17.5	21.7	
Zr	185	179	227	177	182	
Nb	10	10	13	10	10	
Cs	3.6	3.3	7.9	6.4	5.8	
Ba	360	410	430	280	350	
Ta	0.5	0.5	0.5	0.5	0.5	
Th	6.7	8.9	13.6	8.4	9.4	
U	1.93	1.96	2.81	1.97	1.84	
Ga	19	17	20	18	17	
Hf	4	4	6	4	4	
La	25.6	23.8	30.7	22.4	24	
Ce	47.1	43.6	57.9	42.4	46.2	
Pr	5.05	4.87	6.40	4.62	5.10	
Nd	18.7	18	23.2	17.5	19.4	
Sm	3.6	3.5	4.5	3.1	3.6	
Eu	0.94	0.92	1.05	0.9	1.01	
Gd	3.43	3.18	4.47	3.20	3.86	
Tb	0.50	0.48	0.63	0.50	0.61	
Dy	3.48	3.15	4.04	3.17	3.79	
Ho	0.70	0.62	0.86	0.66	0.73	
Er	2.12	1.88	2.58	1.87	2.26	
Tm	0.28	0.27	0.37	0.25	0.32	
Yb	2.1	1.8	2.4	1.7	2.2	
Lu	0.29	0.25	0.36	0.24	0.31	
(La/Yb) _N	8.22	8.92	8.63	8.89	7.35	
(Ce/Yb) _N	5.80	6.27	6.24	6.45	5.43	
(Tb/Yb) _N	1.05	1.18	1.16	1.30	1.22	
Eu/Eu*	0.82	0.84	0.72	0.87	0.83	

(شکل ۴- A) و در نمودار K_2O در مقابل SiO_2 (LeMaitre, 2002; Helvacı et al., 2009) کالک‌آلکالن پتاسیم متوسط تا پتاسیم بالا واقع می‌شوند (شکل ۴- B).

میزان سیلیس سنگهای آتشفشاری منطقه سلم‌آباد بین ۵۳/۴ تا ۶۱/۸ درصد متغیر است. این سنگها در نمودار مجموع آلکالن (Na_2O+K_2O) در برابر SiO_2 (Le Bas et al., 1986; LeMaitre, 2002) در محدوده آندزیت و آندزیت بازالتی (LeMaitre, 2002)

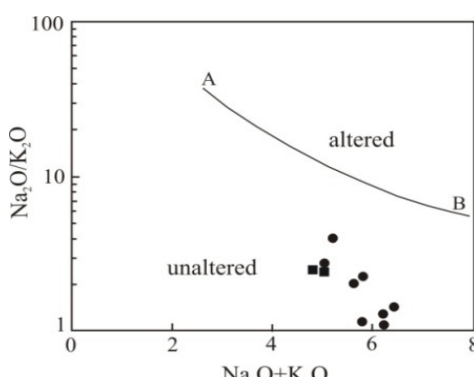


شکل ۴. موقعیت قرارگیری نمونه‌های آتشفشاری منطقه سلم‌آباد در A: نمودار مجموع آلکالن در مقابل سیلیس (Le Bas et al., 1986; LeMaitre, 2002) B: نمودار K_2O در مقابل SiO_2 (LeMaitre, 2002; Helvacı et al., 2009).

Fig. 4. Salm abad samples in A: Total alkalis (Na_2O+K_2O) versus SiO_2 (Le Bas et al., 1986; LeMaitre, 2002), B: K_2O versus SiO_2 diagrams (LeMaitre, 2002; Helvacı et al., 2009).

ماگمایی تغییر نموده باشد. برای تشخیص وقوع دگرسانی در نمونه‌ها از نمودار Na_2O+K_2O در مقابل Na_2O/K_2O (Takanashi et al., 2011) استفاده گردید. بر این اساس، سنگهای آتشفشاری منطقه سلم‌آباد دارای Na_2O+K_2O و Na_2O/K_2O پایین بوده (شکل ۵) و لذا تأثیر دگرسانی پس ماگمایی بر روی این عناصر حداقل بوده است.

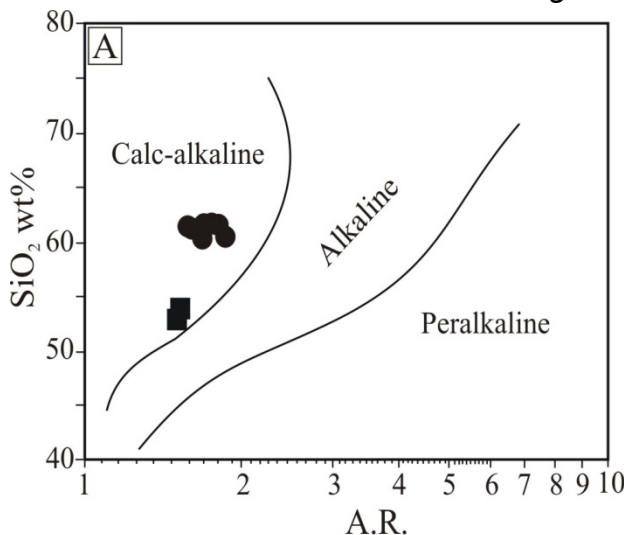
سنگهای آتشفشاری کالک‌آلکالن محصولات عمده محیط‌های تکتونیکی مرزهای صفحات همگرا می‌باشند (Harangi et al., 2007). با وجود این که بر اساس شواهد پتروگرافی، شدت دگرسانی در این سنگها پایین است، میزان LOI برعی نمونه‌ها بالاتر از ۲ درصد وزنی بوده (جدول ۱) و لذا ممکن است تمرکز عناصری نظیر K و Na در اثر دگرسانی پس



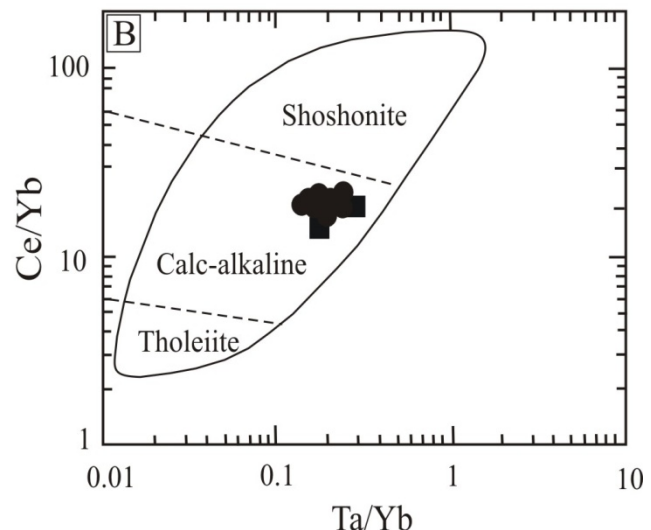
شکل ۵. نمودار Na_2O+K_2O در مقابل Na_2O/K_2O برای سنگهای آتشفشاری سلم‌آباد. منحنی A-B مربوط تقریبی بین سنگهای دگرسان شده و دگرسان نشده را نشان می‌دهد (Takanashi et al., 2011). علایم مشابه شکل ۴.

Fig. 5. Na_2O+K_2O versus Na_2O/K_2O diagram (Takanashi et al., 2011) for Salm abad volcanic rocks. A-B curve shows border of altered and unaltered rocks (Miyashiro, 1975). Legend is the same as in Fig. 4.

قلیایی در حین فرآیندهای دگرسانی از سنگ خارج شوند، موقعیت سنگهای آتشفشاری منطقه سلم‌آباد، در نمودار عناصر کمیاب Ta/Yb در مقابل Ce/Yb (Siddiqui et al., 2007) نیز طراحی گردید که ویژگی کالک‌آلکالن آنها را تأیید نمود (شکل ۶). (B-۶).



مقادیر محاسبه شده $\text{Al}_2\text{O}_3+\text{CaO}+\text{Na}_2\text{O}+\text{K}_2\text{O}) / [\text{A.R.}]$ برای سنگهای مورد مطالعه، پایین (کمتر از ۲) بوده و در نمودار A.R. در مقابل SiO₂ می‌دهند (شکل ۶-A). به دلیل این که ممکن است عناصر



شکل ۶. A: نمودار A.R. در مقابل SiO₂ (Xie et al., 2012). خطوط مشخص کننده محدوده‌های کالک‌آلکالن، آلکالن و پرآلکالن از (Geng et al., 2009) [A.R. = $(\text{Al}_2\text{O}_3+\text{CaO}+\text{Na}_2\text{O}+\text{K}_2\text{O}) / (\text{Al}_2\text{O}_3+\text{CaO}-\text{Na}_2\text{O}-\text{K}_2\text{O})$]؛ B: نمودار Ce/Yb در مقابل Ta/Yb (Siddiqui et al., 2007) و ماهیت کالک‌آلکالن سنگهای آتشفشاری سلم‌آباد (علیم مشابه شکل ۴).

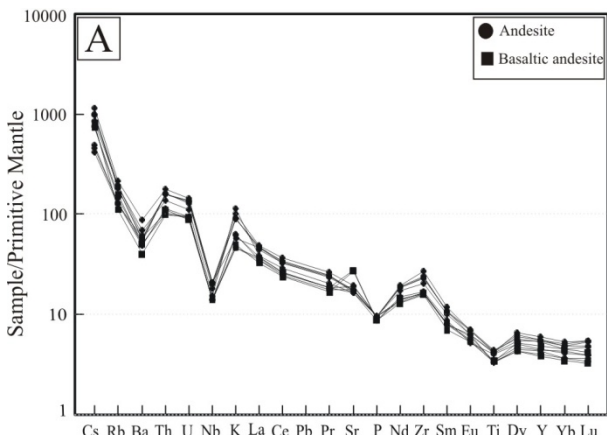
Fig. 6. A: A.R.-SiO₂ diagram (Xie et al., 2012), Calc-alkaline, alkaline and peralkaline limits from (Geng et al., 2009) A.R. = $(\text{Al}_2\text{O}_3+\text{CaO}+\text{Na}_2\text{O}+\text{K}_2\text{O}) / (\text{Al}_2\text{O}_3+\text{CaO}-\text{Na}_2\text{O}-\text{K}_2\text{O})$, B: Ta/Yb versus Ce/Yb (Siddiqui et al., 2007) and Calc-alkaline nature of Salm abad volcanic rocks (Legend is the same as in Fig.4).

سنگ منشأ و فرآیندهای بلور-مایع در زمان شکل‌گیری سنگ، کنترل می‌شود (Rollinson, 1993). قابلیت اتحال LILE (Machado et al., 2005; Yang and Li, 2008) بیشتری از HFSE در سیالات دارند (Borg et al., 1997). بنابراین، در مناطق فرورانش، سیالات آزادشده از بخش بالای لیتوسфер فرورونده که از Nb فقیر و از LILE غنی می‌باشند، به گوه گوشه‌های افزوده می‌شوند (Wilson, 2007; Zulkarnain, 2009). وجود بی‌هنجری منفی Nb, Ti و P در روند تغییرات عناصر کمیاب نمونه‌های مورد مطالعه، مؤید تشکیل این سنگها در مناطق فرورانش است (Helvacı et al., 2009; Barth et al., 2000; Kuscu and Geneli, 2010). می‌تواند بیانگر تفریق فلدسپارها (Arsalan and Aslan, 2006) و منشأ فرورانش (Foley and Wheller, 1990) باشد. نقش پوسته قاره‌ای بالایی در فرآیندهای ماغمایی (Kuscu and Geneli, 2010) در سنگهای

از نمودارهای چند عنصری جهت شناخت منشأ مجموعه‌های سنگی و فرآیندهای مؤثر بر آن استفاده می‌گردد (Siddiqui, 1993). نمودار عنکبوتی عناصر کمیاب به هنجارشده با گوشته اولیه (Sun and McDonough, 1989) برای سنگهای آتشفشاری سلم‌آباد در شکل ۷ نشان داده شده است. سنگهای مورد مطالعه، غنی‌شدنگی (به استثنای Ba) و تهی‌شدنگی HFSE نشان می‌دهند که از خصوصیات عمده مagmaهای وابسته به فرورانش است (Seghedi et al., 2001; Machado et al., 2005; Yang and Li, 2008; Kuscu and Geneli, 2010). کمان می‌تواند در نتیجه ورود اجزای LILE موجود در پوسته فرورونده به درون گوشه‌های بالای آن و رخداد متاسوماتیسم به وجود آید (Seghedi et al., 2001; Mohamed et al., 2000). غلظت عناصر متحرک نظیر Sr, Cs و Ba تابع فاز سیال است، در حالی که میزان عناصر کم تحرک توسط شیمی

Özdemir, 2011) ۲۰۰۸ محتوای LREE (نظیر La) در مذاب به ذوب بخشی گارنت یا اسپینل پریدوتیت بستگی داشته و نسبت La/Yb با درجات متغیر ذوب وابسته است. همچنین مذابهای رخساره گارنت نسبت به مذابهای رخساره اسپینل، نسبتها را بالاتری از La/Yb ایجاد می‌نماید. وجود آنومالی منفی Eu از ویژگیهای گدازه‌های کالک‌آلکالن وابسته به فرورانش (Yang and Li, 2008; Martin, 1999) و بیانگر حضور پلازیوکلاز به عنوان فاز باقی‌مانده در حین ذوب بخشی می‌باشد (Yang and Li, 2008). غنی‌شدنی در REEها نسبت به HREEها به همراه غنی‌شدنی در LILEها و تهی‌شدنی بعضی عناصر HFSE در گدازه‌های سلم‌آباد بیانگر وابستگی آنها به مناطق فرورانش است (Helvacı et al., 2009; Zulkarnain, 2009; Marchev et al., 2004; Nicholson et al., 2004; Asiabanza et al., 2012).

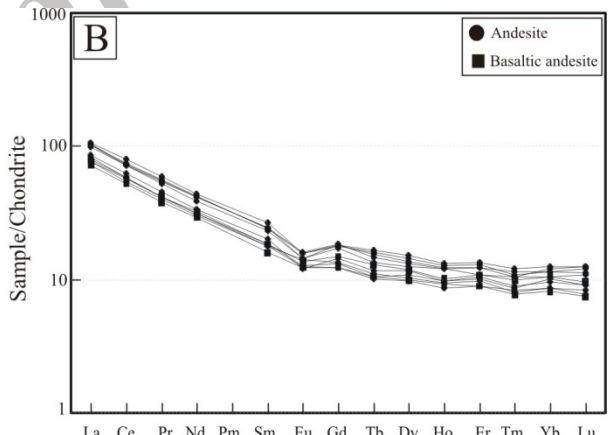
مورد مطالعه مربوط به نمونه‌های آندزیت بازالتی است. غنی‌شدنی Th و U در این سنگها (شکل A-۷) احتمالاً به آلوودگی پوسته‌ای یا خصوصیات منشأ وابسته است (Kuscu and Geneli, 2010). نمودار عناصر نادر خاکی به هنجار شده با کندریت (Boynton, 1984) برای سنگهای آتشفشنایی مورد مطالعه در شکل B-۷ نشان داده است. میزان کل عناصر ppm در گدازه‌های منطقه سلم‌آباد ۱۵۵ تا ۱۰۲ بوده و الگوی یکنواخت با غنی‌شدنی LREE نسبت به HREE با شبیه مجموعه‌های کالک‌آلکالن (Machado et al., 2005) ($\text{Ce/Yb}_{\text{N}} = ۵/۴۳-۶/۷۱$) و ($\text{La/Yb}_{\text{N}} = ۷/۳۵-۹/۷۱$) طرح نسبتاً تخت عناصر نادر خاکی سنگین (۱/۴۰-۱/۰۵) ($\text{Tb/Yb}_{\text{N}} = ۱/۰۵$) و آنومالی منفی ضعیف Eu (میانگین $\text{Eu/Eu}^* = ۰/۷۸$) نشان می‌دهند. مقادیر نسبتاً پایین Yb_{N} در تمام نمونه‌ها بیانگر گارنت باقی‌مانده در منشأ است (Peters et al., 2005). به اعتقاد (Machado et al., 2005)



شکل ۷. A: نمودار عناصر کمیاب به هنجار شده با گوشه‌های اولیه (Sun and McDonough, 1989) ب: الگوی عناصر نادر خاکی به هنجار شده با کندریت (Boynton, 1984) برای سنگهای آتشفشنایی سلم‌آباد.

Fig. 7. A: Primitive mantle-normalized trace elements spider diagram (Sun and McDonough, 1989), **B:** Chondrite-normalized REE diagram (Boynton, 1984) for Salm abad volcanic rocks.

واقع می‌شوند. این سنگها در نمودار 100Th/Zr در مقابل 100Nb/Zr (Asiabanza et al., 2012; Pearce, 1983) در جایگاه فرورانش (شکل A-۸) و در نمودار Nb/La در مقابل Ba/La (Kuscu and Geneli, 2010; Asiabanza et al., 2012) در قلمرو آندزیت‌های کوه‌زایی قرار می‌گیرند (شکل B-۸) که مربوط به حاشیه‌های قاره‌ای فعلی (Siddiqui et al., 2007; Pearce, 1983) می‌باشند (شکل C-۸). ویژگیهای ژئوشیمیایی سنگهای آتشفشنایی سلم‌آباد



بحث
جایگاه تکتونیکی و خصوصیات منشأ
آنزیت‌ها در محیط‌های تکتونیکی مختلف یافت می‌شوند، اما عمده‌ای در مناطق فرورانش (قوس جزیره و حاشیه‌های قاره‌ای فعلی) وجود داشته و ترکیب آنها در این گونه محیط‌ها به فرآیندهای داخلی در مرزهای همگرا بستگی دارد (Gill, 2010). سنگهای آتشفشنایی سلم‌آباد در نمودارهای تمایز تکتونیکی در محدوده کمان آتشفشنایی وابسته به فرورانش

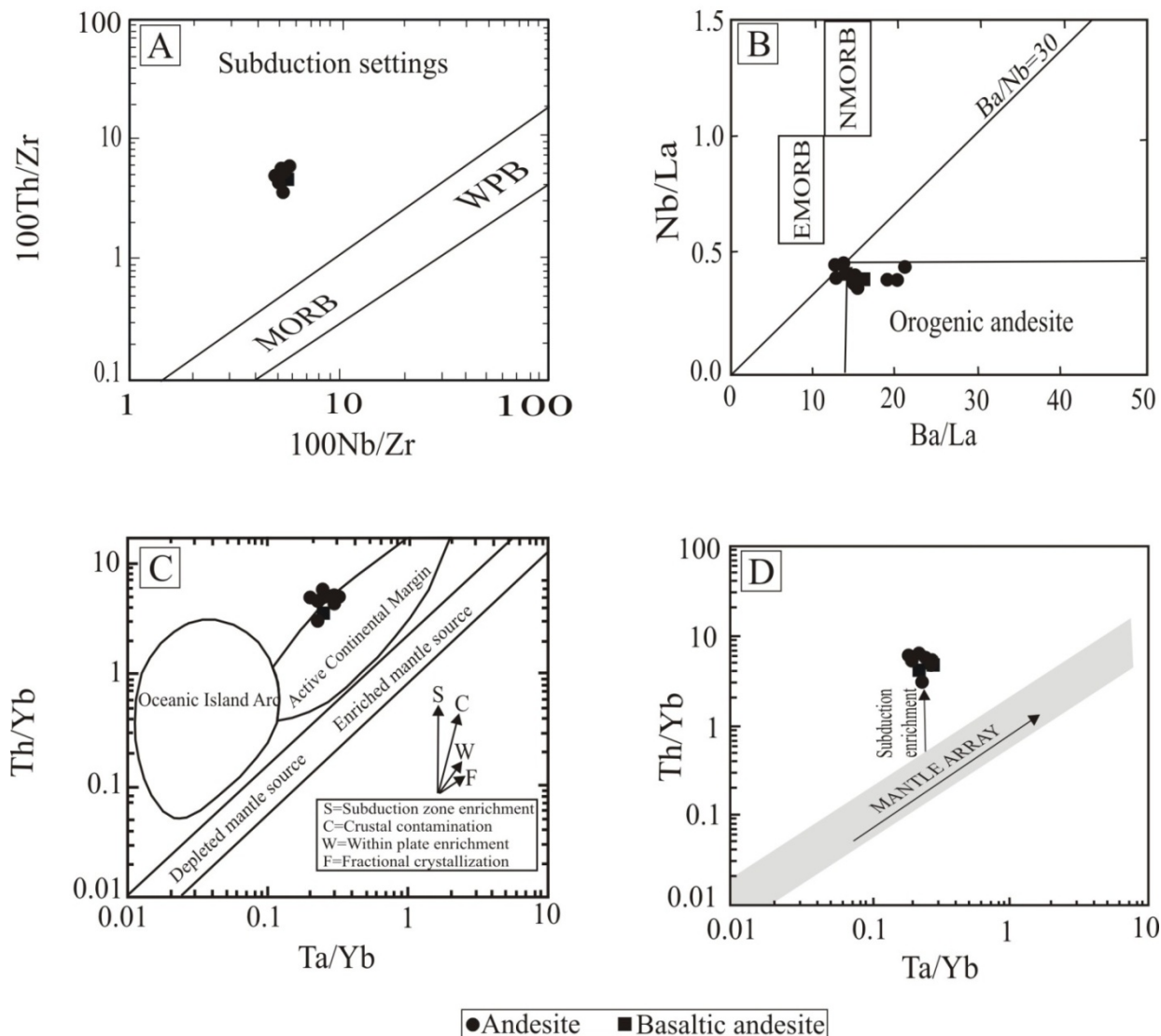
در حاشیه‌های قاره‌ای فعال، از ذوب‌بخشی مواد فرورانده شده و واکنش با گوشته، آندزیت‌های با $Mg^{\#}$ بالا موجود می‌آید (Castro et al., 2013). مطالعات تجربی نشان داده است که $Mg^{\#}$ شاخص مفیدی برای تمایز مذابهای منشأ گرفته از پوسته یا گوشته می‌باشد. مذابهای منشأ گرفته از پوسته زیرین بازالتی، صرف نظر از درجه ذوب‌بخشی به وسیله $Mg^{\#}$ پایین(۴۰<) مشخص می‌شود، در حالی که مذابهای با $Mg^{\#}>40$ فقط به وسیله مشارکت اجزاء گوشته حاصل می‌شود (Geng et al., 2009; Rapp and Watson, 1995) مقدار $Mg^{\#}$ در آندزیت‌های سلم‌آباد بین ۴۵/۴ تا ۵۷/۱ و در بازالت‌های آندزیتی ۶۹/۸ است که بیانگر نقش اجزاء گوشته‌ای در تشکیل آنهاست. مذابهای تشکیل شده در شرایط فشار بالا، $Al_2O_3/(Fe_2O_3+MgO+TiO_2)$ دارای نسبت‌های بالاتر می‌باشند، درحالی که مذابهای حاصل بر هم کنش گوشته‌پوسته در محدوده بین منحنیهای فشار بالا و فشار پایین واقع می‌شوند (Geng et al., 2009; Patiño Douce, 1999) سنگهای آتش‌شناختی مورد مطالعه، دارای مقادیر متوسط از منحنیهای فشار بالا و فشار پایین واقع می‌شوند (شکل ۹) که حاکی از بر هم کنش گوشته‌پوسته در حین تشکیل آنها می‌باشد.

نسبت‌های Nb/U و Nb/La یعنی عناصری که ناسازگاری نشان می‌دهند، طی ذوب گوشته و تبلور‌بخشی دچار تغییر می‌شود. همچنین مقادیر آنها برای بازالت‌های اقیانوسی و سنگهای پوسته قاره‌ای تفاوت آشکاری نشان داده و یکی از راههای تشخیص آلودگی پوسته‌ای است (Pang et al., 2013). بازالت‌های اقیانوسی دارای Nb/U حدود ۵۰ و (Sun and McDonough, 2003) Nb/La حدود ۰/۹-۰/۱ است، در حالی که میزان نسبت‌های یاد شده برای میانگین (Rudnick and Sun, 1989) پوسته قاره‌ای به ترتیب حدود ۴/۴ و ۰/۳۹ تا ۰/۴۷ (میانگین ۰/۴۳) بوده که به مقادیر مذکور برای پوسته قاره‌ای بالای نزدیک است. از طرف دیگر، آنومالی منفی Nb و Ti که در شکل A-۷ مشاهده می‌شود، می‌تواند به حضور اجزای فرورانش در گوشته منشأ (Pang et al., 2013; Özdemir, 2011) و

نظیر غنی‌شدن LREE‌ها نسبت به HREE‌ها به همراه غنی‌شدن LILE‌ها، وجود بی‌هنجری منفی Nb و Ti در روند تغییرات عناصر کمیاب بیانگر وابستگی آنها به مناطق فرورانش بوده (Marchev et al., 2004; Nicholson et al., 2004; Asiabanza et al. 2012) آنها از گوشته لیتوسферی غنی‌شده (Helvacı et al., 2009) منشأ گرفته است. نسبت Sr/Y عمدهاً به وسیله فراوانی نسبی گارنت، آمفیبول و پلازیوکلаз در باقیمانده کنترل می‌شود؛ به طوریکه میزان بالای گارنت و مقادیر پایین آمفیبول و پلازیوکلاز در باقیمانده سبب ایجاد نسبت Sr/Y بالا در مذاب می‌گردد (Geng et al., 2009). سنگهای آندزیتی مورد مطالعه دارای نسبت Sr/Y نسبتاً بالا (میانگین ۱۸/۹۲) بوده که بیانگر حضور گارنت در باقیمانده است. این امر، تهی‌شدن ۷-۸ و آنومالی مثبت Sr گدازه‌های سلم‌آباد (شکل A و B) را توجیه می‌نماید. بنابراین، گدازه‌های منطقه سلم‌آباد احتمالاً از ذوب‌بخشی گوه گوشته‌ای که خود در اثر تماس با سیالات مشتق شده از پوسته اقیانوسی فرورونده، از عناصر کمیاب غنی‌شده، منشأ گرفته است. موقعیت نمونه‌های مورد مطالعه در نمودار Ta/Yb در مقابل Th/Yb (Helvacı et al., 2009; Pearce, 1983) نسبت به Yb سنجیده می‌شود تا تغییرات شیمیایی ناحیه منشأ شامل غنی‌شدن، آلایش پوسته‌ای و تفریق بلوری مشخص شود. تغییرات نسبت Th/Yb و Ta/Yb بیانگر تغییرات منشأ می‌باشد. وجود غیر یکنواختی در منشأ، مقادیر Ta و Th را بهطور یکسان تحت تأثیر قرار داده و ترکیب گوشته نسبت به گوشته اولیه در راستای یک شیب واحد به سمت نسبت‌های بالاتر یا پایین تر (Aldanmaz et al., 2000). نسبت‌های Th/Yb و Ta/Yb تمام گدازه‌های منطقه سلم‌آباد از قلمرو گوشته‌ای به سمت مقادیر بیشتر جایه‌جا شده است (شکل D-۸). این تغییر ترکیبی به فرآیندهای وابسته به فرورانش نسبت داده می‌شود (Helvacı et al., 2009). شاره‌های متاسوماتیک ممکن است شامل سیال آب‌دار یا مذابهای بخشی اولیه حاصل از رسوبات و یا پوسته بازالتی فرورانده شده به گوه گوشته‌ای باشد که سبب پایین آوردن سالیدوس گوشته، ذوب‌بخشی و تولید مآگما می‌شود (Harangi et al., 2007; Hoang et al., 2011).

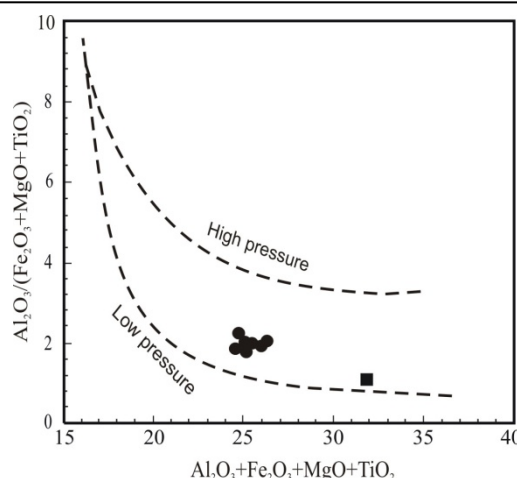
وجود نشانه‌های قاره‌ای در سنگهای گدازه‌ای مورد مطالعه را می‌توان به اضافه شدن سیالات آبدار و مذاب حاصل از رسوبات به منشاً گوشه‌ای در نتیجه فرورانش اقیانوس سیستان نسبت داد.

یا مرتبط با روتیل باقی‌مانده باشد که این عناصر را در حین ذوب رسوبات حفظ می‌نماید (Pang et al., 2013). میانگین نسبت Th/La در نمونه‌های سلم‌آباد حدود ۰/۴ است. به اعتقاد (Plank, 2005)، نسبت بالای Th/La در مagmaهای کمان از رسوبات فرورانده به اثر برده شده است. بنابراین،



شکل ۸. نمودارهای تمایز تکتونوماگماتی برای سنگهای آتشفشاری منطقه سلم‌آباد. A: نمودار $100\text{Nb}/\text{Zr}$ در مقابل $100\text{Th}/\text{Zr}$ (Asiabhanha et al., 2012; Pearce, 1983). B: نمودار Nb/La در مقابل Ba/La (Kuscu and Geneli, 2010; Asiabhanha et al., 2012). C: نمودار Th/Yb در مقابل Ta/Yb (Kuscu and Geneli, 2010; Asiabhanha et al., 2012; Pearce, 1983). D: نمودار Th/Yb در مقابل Ta/Yb (Siddiqui et al., 2007; Pearce, 1983).

Fig. 8. Tectonomagmatic discrimination diagrams for Salm abad volcanic rocks. A: $100\text{Th}/\text{Zr}$ versus $100\text{Nb}/\text{Zr}$ (Asiabhanha et al., 2012; Pearce, 1983), B: Nb/La versus Ba/La (Kuscu and Geneli, 2010; Asiabhanha et al., 2012), C: Th/Yb versus Ta/Yb (Siddiqui et al., 2007; Pearce, 1983), D: Th/Yb versus Ta/Yb (Helvacı et al., 2009; Pearce, 1983).



شکل ۹. نمودار عناصر اصلی سنگهای آتشنشانی منطقه سلم‌آباد. محدوده بین منحنیهای فشار بالا و فشار پایین در برگیرنده اعماقی است که بر هم کش گوشه-پوسته رخ می‌دهد (Patiño Douce, 1999; Geng et al., 2009) (علایم مشابه شکل ۸).

Fig. 9. Major elements diagram for Salm abad volcanic rocks. The area between the high and low pressure curves encompasses the range of depths at which mantle–crust interaction takes place (Patiño Douce, 1999; Geng et al., 2009) (Legend is the same as in Fig.8).

(از نمونه‌های مطالعه شده این تحقیق) برداشت گردیده، $\epsilon_{\text{Nd}}(\text{t}) = 45 \pm 7.0$ و مقدار $\text{Zr}/(\text{Fe}_2\text{O}_3 + \text{MgO} + \text{TiO}_2)$ برای نمونه مورد اشاره ۳/۱۵ می‌باشد که منشأ گوشه‌ای سنگهای آندزیتی سلم‌آباد را تأیید می‌کند. نتایج مطالعات محققان مذکور نشان می‌دهد که سنگهای کالک‌آلکالن شرق ایران از یک منشأ گوشه‌ای فلوگوپیت‌دار با نشانه‌های به ارث رسیده از فروزانش، تشکیل شده است. بسته شدن اقیانوس سیستان در کرتاسه پسین سبب برخاستگی کوههای شرق ایران و ایجاد لیتوسفر چگال و ضخیم در زیر آن شده است. جدا شدن پی لیتوسفری سنگین و ضخیم (احتمالاً از پالاؤژن زیرین) و بالا آمدن استنسوفر، سبب ذوب پریدوتیت‌های آب‌دار در گوشه لیتوسفری و رخداد ماقماتیسم کالک‌آلکالن در رژیم تکتونیکی پس برخوردي در ائوسن زیرین تا الیگوسن فوقانی (۵۵ تا ۲۵ میلیون سال) شده است.

نتیجه‌گیری

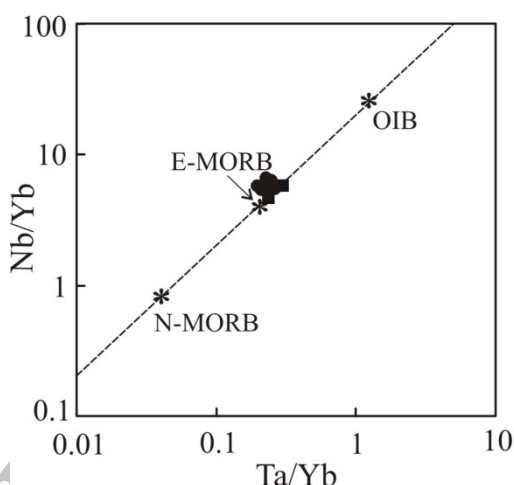
در منطقه سلم‌آباد در جنوب شرق سربیشه، گدازه‌های آندزیتی به صورت گنبدهایی با ساخت توده‌ای و گاهی ستونی بر روی واحدهای آذرآواری قرار گرفته است. بافت غالب آندزیتها، پورفیری با خمیره میکرولیتی گاهی شیشه‌ای، گلومرپورفیری و در آندزیتها با بازالتی بافت حفره‌ای نیز اضافه می‌شود. فنوکریست‌های پلازیوکلاز، پیروکسن و

عنصر کمیاب با ناسازگاری متفاوت، می‌توانند برای پی بردن به غنی‌شدگی یا تهی‌شدگی منشأ ماقما مورد استفاده قرار گیرند. HREE و HFSE به دلیل تحرک کمتر در سیال در مقایسه با سایر عناصر کمیاب، برای این منظور مناسب هستند (Pang et al., 2013). میزان Zr/Nb در بازالت‌های اقیانوسی، تغییرات قابل توجهی را نشان می‌دهد، به طوری که نسبت یاد شده در OIB کمتر از ۱۰، در E-MORB حدود ۱۰ و در N-MORB حدود ۴۰ است (Pearce and Norry, 1979). به دلیل این‌که Zr از Nb ناسازگارتر است، نسبت Zr/Nb ماقما با افزایش درجه تفرقی، کاهش می‌یابد (Pang et al., 2013). میزان Zr/Nb در نمونه‌های مورد مطالعه ۱۷/۳ تا ۱۸/۵ بوده که قابل مقایسه با E-MORB می‌باشد. (Pang et al., 2013; Pearce, 1982)، داده‌های گدازه‌های منطقه سلم‌آباد در محدوده E-MORB قرار می‌گیرند (شکل ۱۰). این ویژگی، مشخص می‌کند که صرف نظر از غنی‌شدگی وابسته به سیال، گوشه منشأ ماقما سنگهای موردن مطالعه، در عناصر کمیاب ناسازگار غنی بوده است.

بر اساس مطالعات انجام شده توسط (Pang et al., 2013) مقدار $^{87}\text{Sr}/^{86}\text{Sr}$ اولیه برای یک نمونه آندزیت (نمونه ۰۷-۲۳) با سن ۲۷/۷ میلیون سال (الیگوسن فوقانی) که از حاشیه روستای سلم‌آباد با موقعیت جغرافیایی مشابه نمونه M5-15

بازالتی می‌باشد. غنی‌شدن Th و U در این سنگها احتمالاً به آسودگی با پوسته قاره‌ای یا خصوصیات منشأ وابسته است، به طوری که وجود نشانه‌های قاره‌ای در سنگهای گدازه‌ای مورد مطالعه را می‌توان به اضافه شدن سیالات آبدار و مذاب حاصل از رسوبات به منشأ گوشه‌ای در نتیجه فرورانش اقیانوس سیستان نسبت داد. مقادیر نسبتاً پایین Nb/Y و نسبت Sr/Y بالا (میانگین ۱۸/۹۲) در نمونه‌ها بیانگر گارنت باقی‌مانده در منشأ است. سنگهای آتشفشاری سلم‌آباد در نمودارهای تمایز تکتونیکی در محدوده کمان آتشفشاری وابسته به فرورانش واقع می‌شوند.

هورنبلند سازندگان اصلی آندزیت‌ها بوده، در آندزیت‌های بازالتی مقادیری الیوین نیز وجود دارد. بر اساس شواهد پتروگرافی، ترکیب شیمیایی عناصر اصلی و مقدار LOI، شدت دگرسانی در این سنگها پایین است. میزان سیلیس سنگهای آتشفشاری منطقه سلم‌آباد ۵۳/۴ تا ۶۱/۸ درصد و در رده‌بندیهای شیمیایی در محدوده آندزیت و آندزیت بازالتی قرار می‌گیرند. وجود بی‌هنجاری منفی Eu, Ti, Nb و P در روند تغییرات عناصر کمیاب نمونه‌های مورد مطالعه، مؤید تشکیل این سنگها در مناطق فرورانش است. بیشترین میزان Sr در سنگهای مورد مطالعه مربوط به نمونه‌های آندزیت



شکل ۱۰. نمودار Nb/Yb در مقابل Ta/Yb (Pang et al., 2013; Pearce, 1982) موقوعیت گدازه‌های سلم‌آباد. مقادیر N-MORB و OIB از (Sun and McDonough., 1989). خط منقطع نشانه آرایه گوشه‌ای است که به کمک مقادیر N-MORB و OIB و E-MORB برونویایی شده است. (علاوه مشابه شکل ۸).

Fig. 10. Nb/Yb versus Ta/Yb diagram (Pang et al., 2013; Pearce, 1982) for Salm abad volcanic rocks. N-MORB, E-MORB and OIB values are after (Sun and McDonough., 1989). Dashed line denote mantle arrays extrapolated from N-MORB and OIB values (Legend is the same as in Fig. 8).

References

- Aldanmaz, E., Pearce, J.A., Thirlwall, M.F., Mitchell, J.G., 2000. Petrogenetic evolution of late Cenozoic, post collision volcanism in western Anatolia, Turkey. Journal of volcanology and geothermal Research, 102(1-2): 67-97.
- Arjmandzadeh, R., Karimpour, M.H., Mazaheri, S.A., Santos, J.F., Medina, J.M. and Homam, S.M., 2011. Sr-Nd isotope geochemistry and petrogenesis of the Chah-Shaljami granitoids (Lut block, Eastern Iran). Journal of Asian Earth Sciences, 41(3): 283-296.
- Arsalan, M. and Aslan, Z., 2006. Mineralogy, petrography and whole-rock geochemistry of the Tertiary granitic intrusions in the Eastern Pontides, Turkey. Journal of Asian Earth Sciences, 27(2): 177-193.
- Asiabanha, A., Bardintzeff, J.M., Kananian, A., Rahimi, G., 2012. Post-Eocene volcanics of the Abazar district, Qazvin, Iran: Mineralogical and geochemical evidence for a complex magmatic evolution. Journal of Asian Earth Sciences, 45: 79-94.
- Barth, M.G., McDonough, W.F. and Rudnick, R.L., 2000. Tracking the budget of Nb and Ta

- in the continental crust. *Chemical geology*, 165(3-4):197-213.
- Berberian, F., Muir, I.D., Pankhurst, R.J. and Berberian, M., 1982. Late Cretaceous and early Miocene Andean-type plutonic activity in northern Makran and Central Iran. *Journal of the Geological Society*, 139(5): 605-614.
- Borg, L.E., Clyne, M.A. and Bullen, T.D., 1997. The variable role of slab-derived fluids in the generation of a suite of primitive calc-alkaline lavas from the southernmost Cascade Range. *Canadian Mineralogist*, 35: 425-452.
- Boynton, W.V., 1984. Cosmochemistry of rare earth elements: meteorite studies. In: P. Henderson, (Editor), *Rare Earth Element Geochemistry*. Elsevier, Amsterdam, pp. 63-114.
- Camp, V.E. and Griffis, R., 1982. Character, genesis and tectonic setting of igneous rocks in the Sistan suture zone, eastern Iran. *Lithos*, 15(3): 221-239.
- Castro, A., Vogt, K. and Gerya, T., 2013. Generation of new continental crust by sublithospheric silicic-magma relamination in arcs: A test of Taylor's andesite model. *Gondwana Research*, 23(4): 1554-1566.
- Foley, S.F. and Wheller, G.E., 1990. Parallels in the origin of the geochemical signatures of island arc volcanics and continental potassio igneous rocks: the role of residual titanites. *Chemical Geology*, 85(1-2):1-18.
- Geng, H., Sun, M., Yuan, C., Xiao, W.J., Xian, W.S., Zhao, G.C., Zhang, L.F., Wong, K. and Wu, F.Y., 2009. Geochemical, Sr-Nd and zircon U-Pb-Hf isotopic studies of Late Carboniferous magmatism in the West Junggar, Xinjiang: implications for ridge subduction? *Chemical Geology*. 266(3-4): 364-389.
- Gill, R., 2010. Igneous rocks and processes. Wiley-Blackwell, Malaysia, 428 pp.
- Goodarzi, M., 2011. Petrology of volcanic rocks in east of Sarbisheh (east of Iran). M.Sc Thesis, University of Birjand, Birjand, Iran, 141 pp. (in Persian with English abstract)
- Harangi, S., Downes, H., Thirlwall, M., Gmeling, K., 2007. Geochemistry, Petrogenesis and Geodynamic Relationships of Miocene Calc-alkaline Volcanic Rocks in the Western Carpathian arc, Eastern Central Europe. *Journal of petrology*, 48(12): 2261-2287.
- Helvacı, C., Ersoy, E.Y., Sözbilir, H., Erkül, F., Sümer, Ö. and Uzel, B., 2009. Geochemistry and $^{40}\text{Ar}/^{39}\text{Ar}$ geochronology of Miocene volcanic rocks from the Karaburun Peninsula: Implications for amphibole-bearing lithospheric mantle source, Western Anatolia. *Journal of Volcanology and Geothermal Research*, 185(3):181–202.
- Hoang, N., Itoh, J. and Miyagi, I., 2011. Subduction components in Pleistocene to recent Kurile arc magmas in NE Hokkaido, Japan. *Journal of Volcanology and Geothermal Research*, 200(3-4): 255-266.
- Hough, T.B. and Luhr, J. F., 1991. Plagioclase melt equilibria in hydrothermal systems. *American Mineralogist*, 76: 477- 492.
- Jung, D., Keller, J., Khurasani, R., Marcks, Chr., Baumann, A. and Horn, P., 1983. Petrology of the Tertiary magmatic activity the northern Lut area, East of Iran. Ministry of mines and metals, Geological survey of Iran, geodynamic project (geotraverse) in Iran, Tehran, Report 51, pp. 285-336.
- Karimi Dehkordi, M., 2012. Deformation analysis along of Sarbishe fault zone in eastern Iran. M.Sc Thesis, University of Birjand, Birjand, Iran, 143 pp. in Persian with English abstract)
- Karimpour, M.H., Malekzadeh Shafaroudi, A., Farmer, G.L. and Stern, C.R., 2012. Petrogenesis of granitoids, U-Pb Zircon geochronology, Sr-Nd isotopic characteristics and important occurrence of Tertiary mineralization within the Lut block, eastern Iran. *Journal of Economic Geology*, 4(1): 1-27. (in Persian with English abstract)
- Karimpour, M.H., Stern, C.R., Farmer, L., Saadat, S. and Malekzadeh, A., 2011. Review of age, Rb-Sr geochemistry and petrogenesis of Jurassic to Quaternary igneous rocks in Lut Block, Eastern Iran. *Geopersia*, 1(1):19-36.
- Kuscu, G.G. and Geneli, F., 2010. Review of post-collisional volcanism in the central Anatolian volcanic province(Turkey), with special reference to the Tepekoval volcanic complex. *International Journal of Earth Sciences*, 99(3): 593-621.
- Le Bas, M.J., Le Maitre, R.W., Streckeisen, A. and Zanettin, B., 1986. A chemical classification of volcanic rocks based on the total alkali-silica diagram. *Journal of Petrology*, 27(3): 745-750.
- Le Maitre, R.W., 2002. Igneous rocks: a classification and glossary of terms:

- recommendations of the International Union of Geological Sciences. Subcommission on the Systematics of Igneous Rocks. Cambridge University Press, Cambridge, 236 pp.
- L'Heureux, I. and Katsev, S., 2006. Oscillatory zoning in a (Ba,Sr) SO₄ Solid solution: Macroscopic and cellular automata models. *Chemical Geology*, 225(3-4): 230-243.
- Machado, A., T. Chemale, Jr. F., Conceicao, R.V., Kawaskita, K., Morata, D., Oteiza, O. and Schmus, W.R.V., 2005. Modeling of subduction components in the Genesis of the Meso-Cenozoic igneous rocks from the South Shetland Arc, Antarctica. *Lithos*, 82(3-4): 435-453.
- Makipour, M., 2011. Geology, Alteration and Petrology of igneous rocks in Golab area (Sarbiskeh, east of Iran). M.Sc Thesis, University of Birjand, Birjand, Iran, 117 pp. (in Persian with English abstract)
- Marchev, P., Raicheva, R., Downes, H., Vaselli, O., Chiaradia, M. and Moritz, R., 2004. Compositional diversity of Eocene-Oligocene basaltic magmatism in the Eastern Rhodopes, SE Bulgaria: implications for genesis and tectonic setting. *Tectonophysics*, 393(1-4): 301-328.
- Martin H, 1999. Adakitic magmas: modern analogues of Archaean granitoids. *Lithos*, 46(3): 411-429.
- Miyashiro, A., 1975. Classification, characteristics and origin of ophiolites. *The Journal of Geology*, 83(2): 249-281.
- Mohamed, F.H., Moghazi, A.M. and Hassanen, M.A., 2000. Geochemistry, Petrogenesis and tectonic setting of late Neoproterozoic Dokhan-type volcanic rocks in the Fatira area, eastern Egypt. *International Journal of Earth Science*, 88(4): 764-777.
- Mohammadi, S.S., 2012. Geology and Petrology of Tertiary volcanic rocks of Sarbiskeh perlite mine area(eastern Iran)and industrial applications. *Journal of Economic Geology*, 4(1): 59-76. (in Persian)
- Monfaredi, B., Masoudi, F. and Tabbakh Shabani, A.A., 2009. Magmatic Interaction as Recorded in Texture and Composition of Plagioclase Phenocrysts from the Sirjan Area, Urumieh-Dokhtar Magmatic Arc, Iran. *Journal of Sciences, Islamic Republic of Iran*, 20(3): 243-251.
- Nazari, Z., 2011. Geology and Petrology of volcanic rocks in northwest of Sarbiskeh(east aof Iran). M.Sc Thesis, University of Birjand, Birjand, Iran, 114 pp. (in Persian with English abstract)
- Nazari, H. and Salamat, R., 1999. Geological map of Sarbiskeh, scale1:100000. Geological survey of Iran.
- Nelson, S.T. and Montana, A., 1992. sieve – textured plagioclase in volcanic rocks produced by rapid decompression. *American Mineralogist*, 77(11-12): 1242-1249.
- Nicholson, K.N., Black, P.M., Hoskin, P.W.O. and Smith, I.E.M., 2004. Silicic volcanism and back-arc extension related to migration of the Late Cainozoic Australian- Pacific plate boundary. *Journal of Volcanology and Geothermal Research*, 131(3-4): 295-306.
- Özdemir, Y., 2011. Volcanostratigraphy and petrogenesis of Süphan stratovolcano. Ph.D. Thesis, Middle East Technical University, Ankara, Turkey, 279 pp.
- Pang, K.N., Chung, S.L., Zarrinkoub, M.H., Khatib, M.M., Mohammadi, S.S., Chiu, H.Y., Chu, C.H., Lee, H.Y. and Lo, C.H., 2013. Eocene–Oligocene post-collisional magmatism in the Lut–Sistan region, eastern Iran: Magma genesis and tectonic implications. *Lithos*, 180–181: 234–251.
- Pang, K.N., Chung, S.L., Zarrinkoub, M.H., Mohammadi, S.S., Yang, H.M., Chu, C.H., Lee, H.Y. and Lo, C.H., 2012. Age, geochemical characteristics and petrogenesis of Late Cenozoic intraplate alkali basalts in the Lut–Sistan region, eastern Iran. *Chemical Geology*, 306-307: 40–53.
- Patiño Douce, A.E., 1999. What do experiments tell us about the relative contributions of crust and mantle to the origin of granitic magmas? In: A. Castro, C. Fernandez and J.L. Vigneresse (Editors.) *Understanding Granites: Integrating New and Classical Techniques*. Geological Society, London, Special Publications, 168 pp. 55–75.
- Pearce, J.A., 1982. Trace element characteristics of lavas from destructive plate boundaries. In: R.S. Thrope (Editor), *Andesites*. Wiley, Winchester, pp. 525-548.
- Pearce, J.A., 1983. Role of the sub-continental lithosphere in magma genesis at active continental margins. In: C.J. Hawkesworth, M.J. Norry (Editors.), *Continental Basalts and Mantle Xenoliths*. Shiva publishing, Nantwich, pp. 230–249.

- Pearce, J.A. and Norry, M.J., 1979. Petrogenetic Implications of Ti, Zr, Y, and Nb Variations in Volcanic Rocks. Contributions to Mineralogy and Petrology, 69(1): 33-47.
- Peters, T.J., Menzies, M., Thirlwall, M. and Kyle, P., 2008. Zuni-Bandera volcanism, Rio Grande, USA – melt formation in garnet- and spinel facies mantle straddling the asthenosphere-lithosphere boundary. *Lithos*, 102(1-2): 295-315.
- Plank, T., 2005. Constraints from thorium/lanthanum on sediment recycling at subduction zones and the evolution of the continents. *Journal of Petrology*, 46(5): 921-944.
- Rapp, R.P. and Watson, E.B., 1995. Dehydration melting of metabasalt at 8-32-kbar - implications for continental growth and crust-mantle recycling. *Journal of Petrology*, 36(4): 891–931.
- Richards, J.P., Spell, T., Rameh, E., Razique, A. and Fletcher T., 2012. High Sr/Y Magmas Reflect Arc Maturity, High Magmatic Water Content, and Porphyry Cu ± Mo ± Au Potential: Examples from the Tethyan Arcs of Central and Eastern Iran and Western Pakistan. *Economic Geology*, 107(2): 295–332.
- Rollinson, H.R., 1993. Using geochemical data, Evaluation, Presentation, Interpretation. Longman Scientific and Technical, New York, 352 pp.
- Rudnick, R.L. and Gao, S., 2003. Composition of the continental crust. In: R.L. Rudnick (Editor), *Treatise in Geochemistry*. Vol 3. Elsevier-Pergamon, Oxford, pp. 1-64.
- Saccani, E., Delavari, M., Beccaluva, L. and Amini, S., 2010. Petrological and geochemical constraints on the origin of the Nehbandan ophiolitic complex (eastern Iran): Implication for the evolution of the Sistan Ocean. *Lithos*, 117(1-4): 209–228.
- Seghedi, I., Downes, H., Pecskay, Z., Thirlwall, M.F., Szakacs, A., Prychodko, M. and Matthey, D., 2001. Magmagenesis in a subduction-related post-collisional volcanic arc segment: the Ukrainian Carpathians. *Lithos*, 57(4): 237–262.
- Siddiqui, R. H. , Asif Khan, M. and Qasim Jan, M., 2007. Geochemistry and petrogenesis of the Miocene alkaline and sub-alkaline volcanic rocks from the Chagai arc, Baluchistan, Pakistan:Implications for porphyry Cu-Mo-Au deposits. *Journal of Himalayan Earth Sciences*, 40: 1-23.
- Sun, S.S. and McDonough, W.F., 1989. Chemical and isotopic systematic of ocean basalts: implications for mantle composition and process. In: A.D. Saunders and M.J. Norry (Editors.), *Magmatism in the Ocean Basins*. Geological Society 42, London, pp. 313–345.
- Takanashi, K., Shuto, K. and Sato, M., 2011. Origin of Late Paleogene to Neogene basalts and associated coeval felsic volcanic rocks in Southwest Hokkaido, northern NE Japan arc: Constraints from Sr and Nd-isotopes and major- and trace-element chemistry. *Lithos*, 125(1-2): 368–392.
- Tirrul, R., Bell, I.R., Griffis, R.J. and Camp, V.E., 1983. The Sistan suture zone of eastern Iran. *Geological Society of America Bulletin*, 94(1): 134-156.
- Vernon, R.H., 2004. *A practical Guide to Rock Microstructure*. Cambridge University Press, Cambridge, 594 pp.
- Whitney, D. and Evans, B.D., 2010. Abbreviations for names of rock-forming minerals. *American Mineralogist*, 95(1): 185-187.
- Wilson, M., 2007. *Igneous Petrogenesis*. Springer Verlag, london, 466 pp.
- Xie, J., Yang, X., Sun, W. and Du, J., 2012. Early Cretaceous dioritic rocks in the Tongling region, eastern China: Implications for the tectonic settings. *Lithos*, 150: 49–61.
- Yang, W., Li, Sh., 2008. Geochronology and geochemistry of the Mesozoic volcanic rocks in Western Liaoning: Implications for lithospheric thinning of the North China Craton. *Lithos*, 102(1-3): 88–117.
- Zellmer, G.F., Sparks, R.S.G., Hawksworth, C.J. and Wiedenbeck, M., 2003. Magma emplacement and remobilization timescale beneath Montserrat: Insight from Sr and Ba zonation in plagioclase phenocrysts. *Journal of Petrology*, 44(8):1413-1431.
- Zulkarnain, I., 2009. Geochemical Signature of Mesozoic Volcanic and Granitic Rocks in Madina Regency Area, North Sumatra, Indonesia, and its Tectonic Implication. *Jurnal Geologi Indonesia*, 4(2): 117-131.